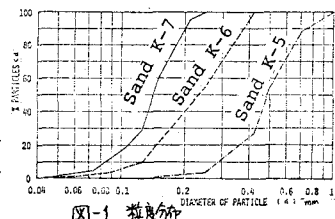


京大防災研究所 正員 下島第一、石原寛雄、京大大学院 学生員 時松昌則

降雨終了後の浸透水の挙動を明確にするために、下端を開いた円筒内に、単層及び二層に砂を詰め、湛水によってある時間鉛直浸透とした後の土壤水の移動と、肉塞空気の挙動に着目して実験的に調べたものである。下端を開いた円筒で実験を行ったのは、いわば肉領域内で水上空気が置換するという条件が成立するからである。

1. 実験方法及び使用砂

実験に使用した砂は図-1に示した3種類で、水を内径18.5cm、長さ170cmの下端を開いた円筒に、単層または二層(上層が粗砂で下層が細砂の混合及びその逆の場合)で砂を詰めて浸透場を形成した。実験時は1cmの湛水深を保ちながらある時間給水を続ける初期状態を作り(このときの給水量と以下では水深で表わして給水高: H という)、給水停止後の土壤水分及び円筒下端での空気圧の測定を行った。なお、使用砂はすべて乾燥状態のものを使用した。



2. 実験結果の概要

図-2から図-5までは単層砂の場合の実験結果の一例で、図-2は含水比分布の時間的变化の様子を示したものである。図-3は脱水領域($x=0$ ~約50cm)と同一含水比の下降状況を空気圧の変化とともに示す。

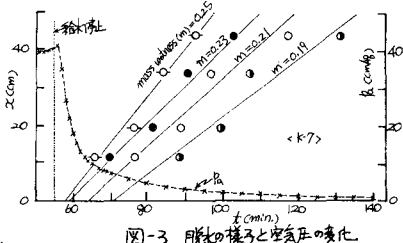
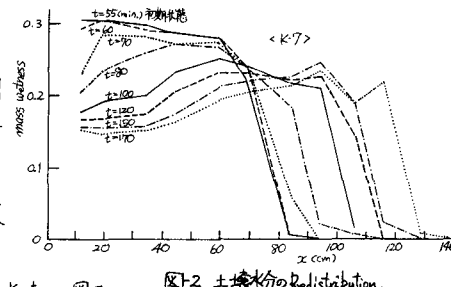


図-4から図-8までは上層粗砂、下層細砂の場合の実験結果の一例で、これらは図-2、3,4に対応している。図-7は示した脱水領域($x=0$ ~約60cmの範囲)を対象としたものである。

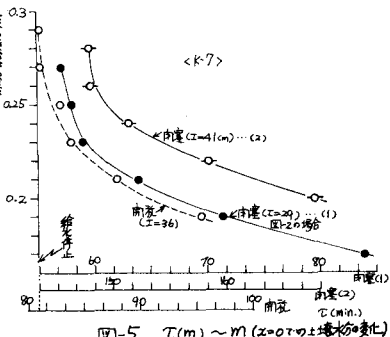
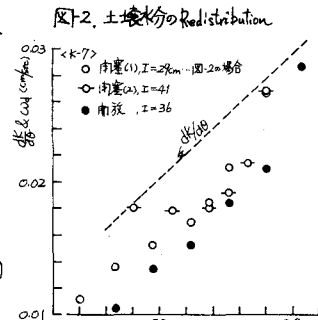


図-6,7,8は上層粗砂、下層細砂の場合の実験結果の一例で、これらは図-2, 3, 4に対応している。図-7は示した脱水領域($x=0$ ~約60cmの範囲)を対象としたものである。

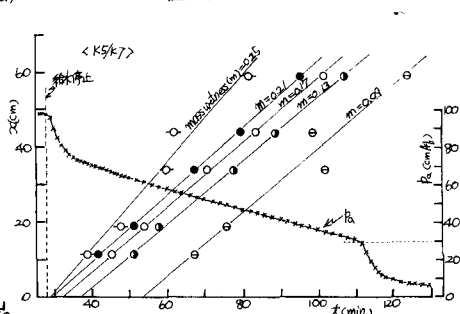
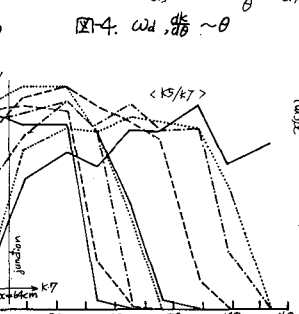


図-4,8中で示された不饱和透水係数長さから計算した $dk/d\theta$ (θ : 体積含水比) を示したものである。図-4では給水高によつて多少の相違はあるようであるが、 $dk/d\theta$ と $W_d(\theta)$ はほぼ同じ傾向を示しているが、図-8

では両者は全く違つて傾向を示し、 $\omega_d(\theta)$ は含水比に依らずほとんど変化していない。
図-9はwetting frontの進行状況を示したもので、单層(図-2の場合)、二層(図-6の場合)のいずれの場合においても、給水停止後からりの時間の間一定の速度でwetting frontが進行するという吸水状態が続く特性が見られる。

3. 考察

土壤水の移動の基礎式は、Darcy則及び連続式である。

$$U = -K(\theta) \cdot \left\{ \frac{\partial \theta}{\partial x} - 1 + \frac{\partial h}{\partial x} \right\} \quad \dots \text{②} \quad \frac{\partial \theta}{\partial t} + \frac{\partial U}{\partial x} = 0 \quad \dots \text{③}$$

$= U$ 、 U : Darcy流速、 θ : 体積含水比($m=比例$)、 K : 不飽和透水係数、 h : 毛管水頭(テルミナル)、 p_a : 自由表面圧(ボテンシャル表示を仮定)、 x : 重力方向を正符号、 t : 時間である。 h を θ と吸水より脱水に移行する際の含水比 θ_0 との関数とみなし、②式より、④式となるが、さらには空気に対する透過係数 K' を用いてDarcy則式⑤を得る。

$$\frac{\partial \theta}{\partial x} = \left[-\frac{U}{K(\theta)} + 1 - \frac{\partial h}{\partial x} - \frac{\partial p_a}{\partial x} \right] / \frac{\partial U}{\partial \theta}, \quad \frac{\partial U}{\partial \theta} > 0 \quad \dots \text{④} \quad U' = -K'(\theta) \frac{\partial h}{\partial x} \quad \dots \text{⑤}$$

仮定(重力項を無視)すると、脱水状態の θ の分布は⑥式で与えられる。

$$\frac{\partial \theta}{\partial x} \geq 0 \text{ に応じて, } \frac{U}{K(\theta)} \leq \left\{ 1 - \frac{\partial h}{\partial x} - \frac{\partial p_a}{\partial x} \right\} - \frac{\partial h}{\partial x}, \text{ または, } \frac{U}{K(\theta)} - \frac{U'}{K'(\theta)} \leq 1 - \frac{\partial h}{\partial x} - \frac{\partial p_a}{\partial x} \quad \dots \text{⑥}$$

ここで、砂層表面($x=0$)では給水停止後長時間経過すると、 $U=0$ 、 $\partial h/\partial x \rightarrow 0$ 、 $\partial p_a/\partial x \rightarrow 0$ と考えられるので、④式より⑦式の実験がえらばれる。また、一般に脱水状態での θ の伝播速度 $\omega_d(\theta)$ は形式的に⑧式で表わされる。

$$\frac{\partial \theta}{\partial x} \Big|_{x=0} = \frac{\partial \theta}{\partial t} \quad \dots \text{⑦}, \quad \omega_d(\theta) = \frac{\partial \theta}{\partial t} = \frac{\partial K(\theta)}{\partial \theta} - \frac{\partial}{\partial \theta} \left(K(\theta) \frac{\partial h}{\partial \theta} \right) - \frac{\partial}{\partial \theta} \left(K(\theta) \frac{\partial p_a}{\partial \theta} \right) + [\text{Hypothesisの項}] \quad \dots \text{⑧}$$

すなはち、 $\partial h/\partial x=0$ の場合、[Hypothesisの項]=0

以上の説明の過程では、給水停止直後において砂層中の水量及び空気量は、その後長時間ほぼ一定で、砂層表面を通しての水及び空気のfluxは近似的に零であるという条件が含まれていないこと、及び空気圧勾配の存在、空気に対するDarcy則の適用等の仮定が入ることを考慮しつゝ、前記の実験事実について2,3考察しよう。

水と空気の置換機構: 図-3と図-4より、給水停止後の空気圧は单層の場合の方が遠く減少し、逆に両者共飽和に近い領域(図-2では表面近傍、図-6ではjunction近傍)の含水量が減少すると急速に減少していくことがわかる。こうした特性は他の実験において認められるところであり、このことから、下端開塞の砂への雨水浸透に際して、内部空気圧がかなりの上昇を示す原因が飽和に近い領域の形成にある、また空気と水の置換に際しては、空気がこの領域を通過する際にもとも大きな抵抗を受けると結論づけられる。換言すると②~⑧式中の $\partial h/\partial x$ の項は、上記のような飽和に近い領域では卓越するが、他ではどう大きくなないと考えてよい。

脱水領域での土壤水分: 工が大きいほど給水停止時の空気圧は大きく、その低減速度は小さいという事実があるが、図-5では工が大きい方が $\theta(t)$ が大きくなることになる。これは単層の場合と逆であるが、開塞单層の場合飽和に近い領域が表面付近に限らず広く考えらばれる。図-4で脱水状態での θ の伝播速度が単層の場合とは同じであり、 $\partial \theta / \partial t$ とOndine的に近いところとは、図-3から下部の高圧が比較的早く開放されていくためで、⑧式よりすれば、右辺第2項はほぼ零となる。開放の場合に近い状態にならためと考えられる。しかし、図-8では单層の場合とかなり異なりおり、開塞(粗砂細砂)層の場合、junction付近での空気置換の影響等が考えられる。

吸水領域: wetting frontの前進に伴い吸水領域が生じ、Youngsが指摘したように、frontはほぼ一定の θ の最大値を持つ(図-2B)。

これは直捷に示されなく、下層(粗砂細砂)層での実験結果は講演時に述べた。

<参考文献>

1) E.G. Youngs他: WRR, Vol.12, No.5, 1976. 2) 砂層下層(粗砂細砂)層での実験結果は講演時に述べた。

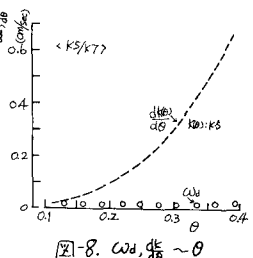


図-8. $\omega_d / \theta \sim \theta$

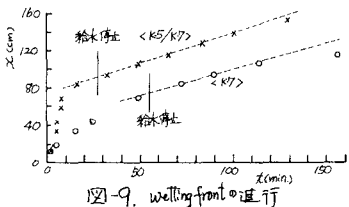


図-9. wetting frontの進行